

# *Měření proudu plynu*

$$I = pS$$

- měření malých proudů plynu v vakuové technice
- průtokoměry

Výběr průtokoměru:

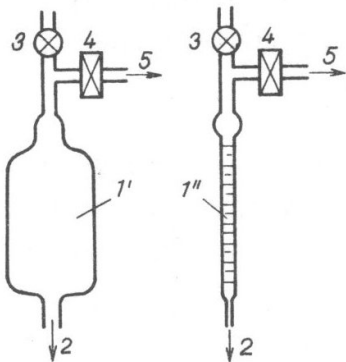
- přesnost
- reprodukovatelnost
- měřící rozsah

(S.Ďad' o, L.Bejček, A. Platil: Měření průtoku a výšky hladiny, Ben,Praha 2005)

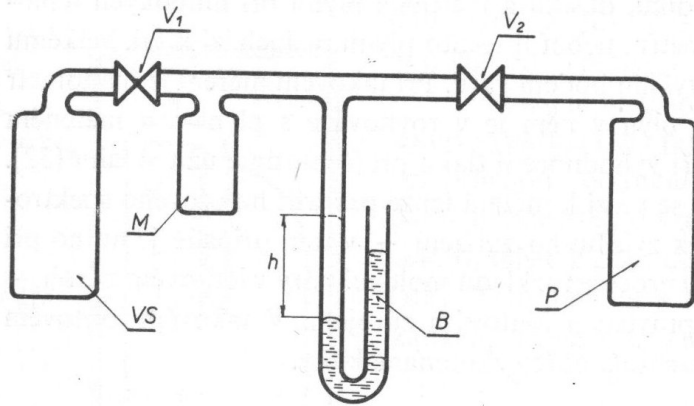
# *Měření malých proudů plynu v vakuové technice*

- plynová byreta
- měření pomocí kapky Hg
- měření pomocí vodivosti
- měření na základě silového působení
- dynamická expanze

## Plynová byreta



Obr. 5.94. Jednoduché zařízení na měření  
a přípravu určitého proudu plynu  
1' – zásobník; 1'' – trubice; 2 – k nádobě  
s kapalinou; 3 – kohouty; 4 – vpouštěcí  
kohouty; 5 – k vakuové aparatuře



Obr. 7-43a. Měření proudu plynu vpouštěného do vakuového systému.

**B — byreta**

*V<sub>a</sub>* = kohout

*h* — posun výšky hladiny

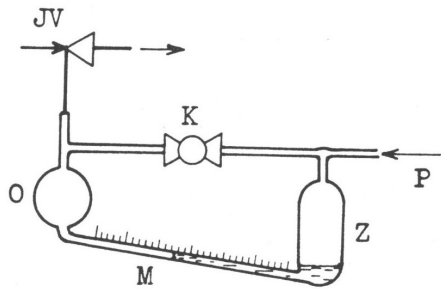
$P$  = zásobní objem plynu

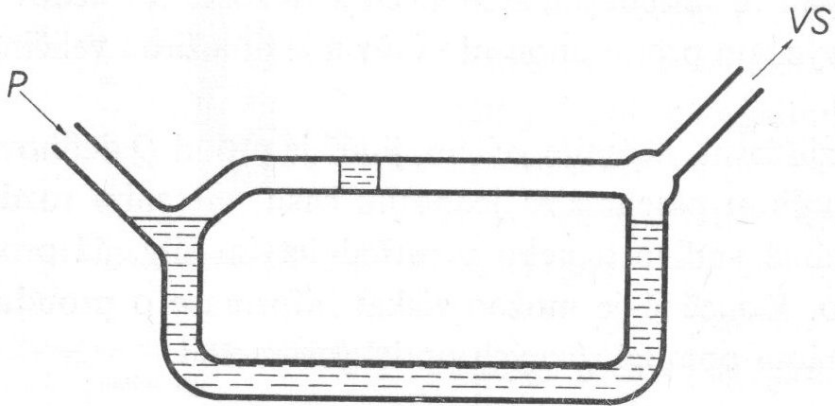
*M* — manometr

VS — vakuový systém

*V<sub>1</sub>* = vpouštěcí kohout

Obr. 13: Plynová mikrobyreta:  
M - měrná kapilára s děléním podle objemu; Z - zásobník kapaliny;  
O - ochranná nádobka; K - kohout (pro vyrovnání tlaků), P - přívod plynu; JV - jehlový ventil pro řízené napouštění plynu do vakua.



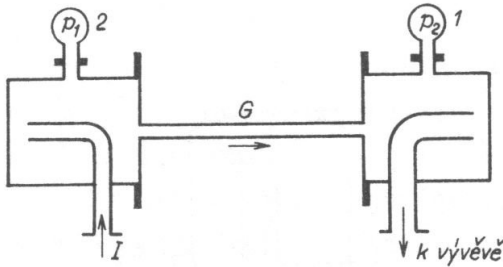


Obr. 7-43b. Měření objemu plynu cirkulující kapkou

P — vpouštěný plyn

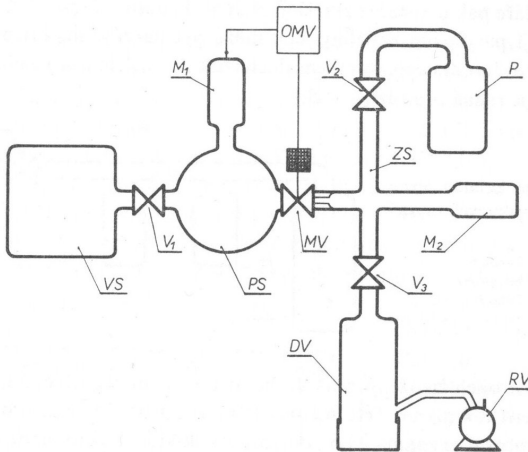
VS — vakuový systém, do nějž se vpouští plyn.

## Měření pomocí vodivosti



Obr. 5.95. Vakuové zařízení pro měření proudu plynu  
1, 2 – vakuometry; G – trubice se známou vodivostí

$$I = G(p_1 - p_2)$$



Obr. 7-45. Měření proudu plynu vpouštěného do vakuového systému (metoda dle Trendelenburga a Hengevossa)

$M_1, M_2$  — manometry

$V_1$  = vpuštěcí ventil

$V_a$ ,  $V_b$  = ventily

*MV* — elektromagnetický ventil

*OMV* — elektronický obvod ovládající *MV* podle údaje *M<sub>1</sub>*

PS — pomocný vakuový systém

TS — pomocný vaku  
ZS — záložní systém

ZS — zasobní systém  
DV — difuzní vý

*DV* = difuzní vývěva

Rv = Rotachi výve

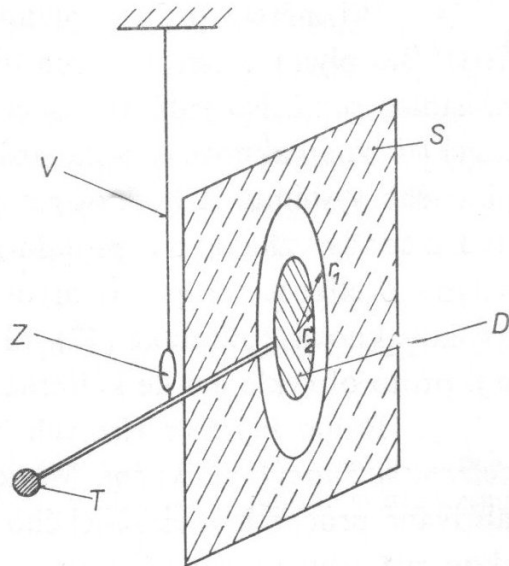
*VS* — vakuový systém, do nějž se vpouští plyn

$$I = G(p_1 - p_2) \frac{t'}{t}$$

$t$  - celkový čas,  $t'$  - doba otevření ventilu.

Tlak v pomocném vakuovém systému:  $\sim 1 - 2 \cdot 10^{-7}$  torr.

# Měření na základě silového působení



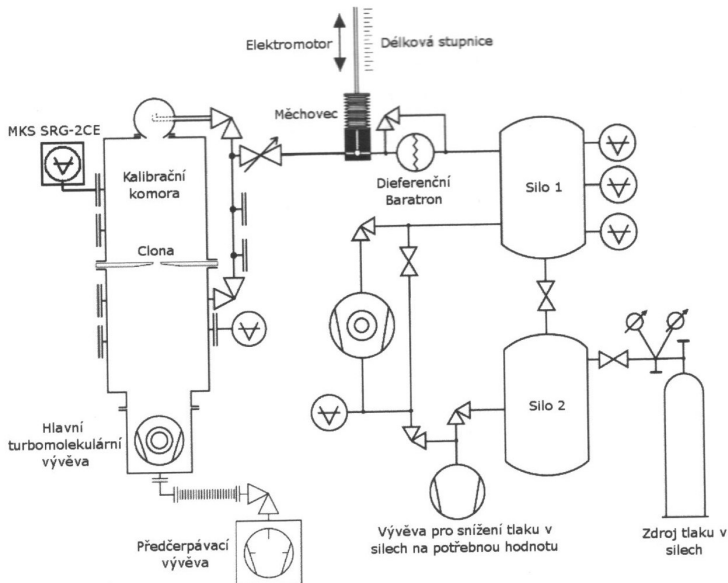
$$F = (p_1 - p_2)\pi r_2^2 = \left[ \frac{\pi}{8}nm(v_a + u)^2 - \frac{\pi}{8}nm(v_a - u)^2 \right] \pi r_2^2$$

$$F = \frac{\pi}{8}nm4v_a u \pi r_2^2 = p \frac{4u}{v_a} \pi r_2^2 = pu \sqrt{\frac{2\pi m}{kT}} \pi r_2^2$$

$$u = \frac{I}{\pi r_1^2 p}$$

$$F = \sqrt{\frac{2\pi m}{kT}} \left( \frac{r_2}{r_1} \right)^2 I$$

# Dynamická expanze





## *Etalon na principu dynamické expanze*

rozsah  $1 \cdot 10^{-1} - 10^{-6}$ Pa chyba měření 0.6% – 2%

$$p_{\text{ref}} = I \left( \frac{1}{S} + \frac{1}{G} \right)$$

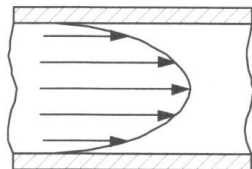
$$I = p \frac{V_1 - V_2}{t_1 - t_2}$$

# *Průtokoměry*

- plováčkové průtokoměry
- turbínové průtokoměry
- ultrazvukové průtokoměry
- průtokoměry založené na Coriolisově sile
- průtokoměry založené na tlakové diferenci
- průtokoměry tepelné

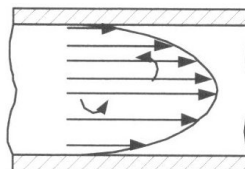
$$Re = \frac{\rho u D}{\eta}$$

$Re < 2000$

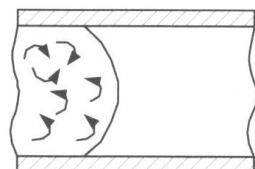


laminární proudění

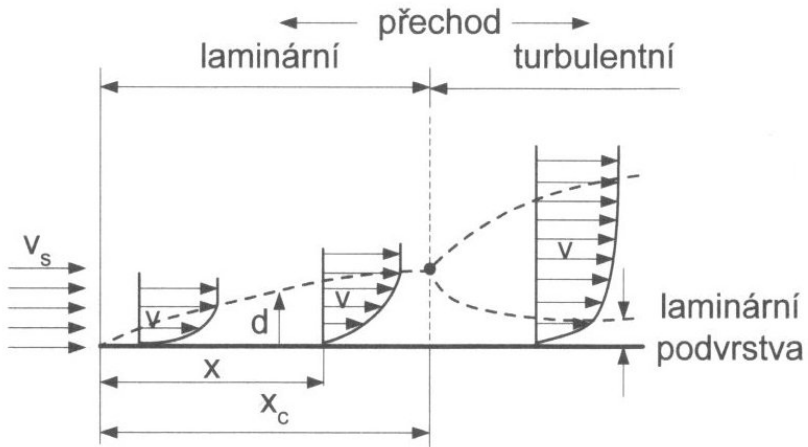
$2000 < Re < 4000$



$4000 < Re$



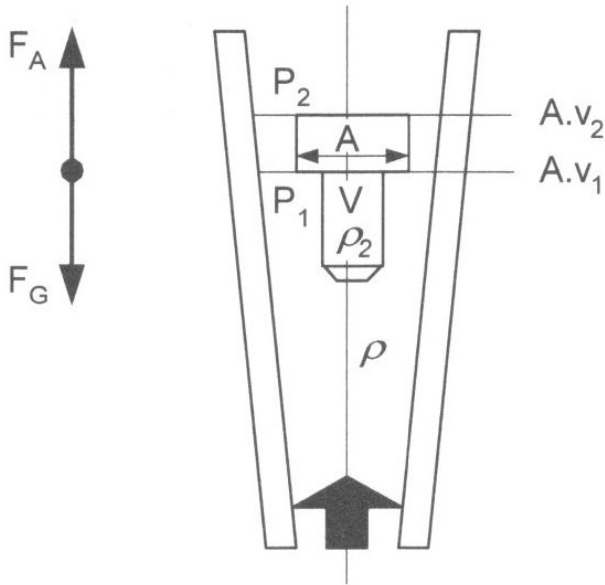
turbulentní proudění



Princip průtokoměru	Tekutina (K, P, Pa)	Přesnost (typická hodnota)
Clona	K, P, Pa	0,6–2 % z rozsahu
Venturiho trubice	K, P	0,6–2 % z rozsahu
Rotametr	K, P	2 % z rozsahu
Terčík	K, P	< 0,1–1 % z údaje
Turbina	K, P, Pa	0,1–2 % z údaje
Vírový	K, P, Pa	0,5–1 % z údaje
Elektromagnetický	K	0,2–1 % z údaje
Ultrazvukový (Doppler)	K, P	1 % z údaje – 2 % z rozsahu
Ultrazvukový (klasický)	K, P, Pa	0,5 % z údaje – 2 % z rozsahu
Coriolisův	K, P, Pa	0,1–0,5 % z rozsahu
Tepelný	K, P, Pa	0,5 % z údaje – 2 % z rozsahu
Vážící systémy	K, pevné látky	0,1 % z údaje
LDA	K, P, Pa	1 % z údaje
Značkovací	K, P, Pa	1–2 % z údaje
Přepady (otevřené kanály)	K	3–5 % z údaje
Žlaby (otevřené kanály)	K	3–5 % z údaje

Princip průtokoměru	Opakovatelnost	Rozsah	Min. hodnota Reynoldsova čísla
Clona	0,5 % z údaje	3–10:1	3000
Venturiho trubice	0,5 % z údaje	4–10:1	10000
Rotametr	1 % z údaje	10:1	–
Terčík	0,02 % z údaje	50:1	>100
Turbina	0,02 % z údaje	25:1	5000
Vírový	0,2 % z údaje	15:1	5000
Elektromagnetický	0,1 % z údaje	>100:1	2000
Ultrazvukový (Doppler)	0,5 % z údaje	>20:1	5000
Ultrazvukový (klasický)	0,25 % z údaje	>20:1	10000
Coriolisův	0,02 % z údaje	>100:1	1000
Tepelný	0,5 % z údaje	>100:1	5000
Vážící systémy	0,01 % z údaje	50:1	>100
LDA	0,02 % z údaje	2000:1	>100
Značkovací	1 % z údaje	1000:1	5000
Přepady (otevřené kanály)	1–2 % z údaje	400:1	–
Žlaby (otevřené kanály)	1–2 % z údaje	120:1	–
Korelace	0,5 % z údaje	100:1	5000

# Plováčkové průtokoměry



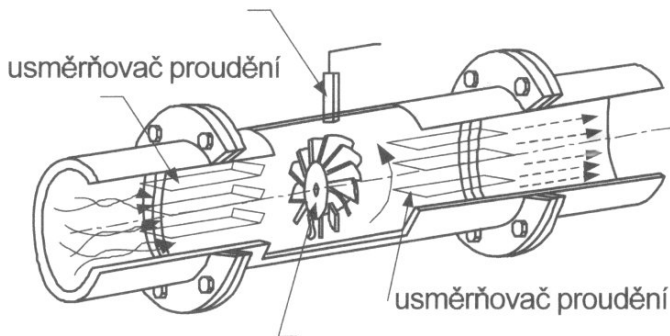
$$A \left( \frac{\varrho v_1^2}{2} + p_1 \right) + Vg\varrho = Ap_2 + Vg\varrho_2$$

$$q_V = C_d A_2 \sqrt{\frac{2gV}{A} \left( \frac{\varrho_2}{\varrho} - 1 \right)} = f(A_2)$$

$A_2$  - plocha mezi plovákem a trubicí,  $\varrho_2$  - hustota plováku,  $C_d$  - koeficient ztrát - pro turbulentní proudění přibližně konstantní

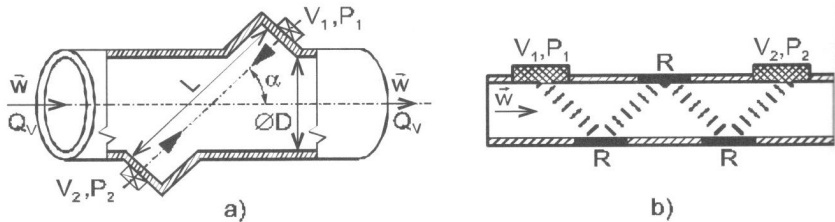
# Turbínové průtokoměry

senzor průchodu lopatek  
– frekvence impulzů úměrná průtoku



rotor turbíny – úhlová rychlosť  
úměrná průtoku

# Ultrazvukové průtokoměry



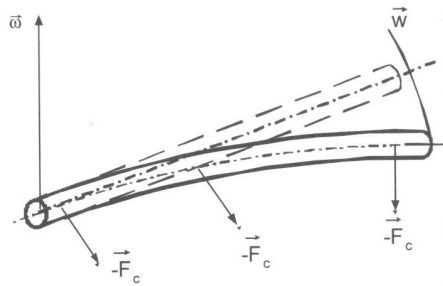
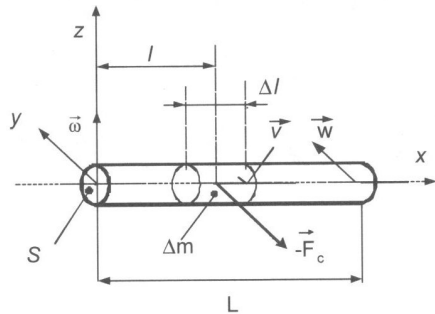
Obr. 10.1 Ultrazvukové senzory průtoku: a) princip,  $V_1, V_2$  je označení pro vysílací a  $P_1, P_2$  přijímací funkci měniče, b) prodloužení dráhy šíření ultrazvukového vlnění reflektory  $R$

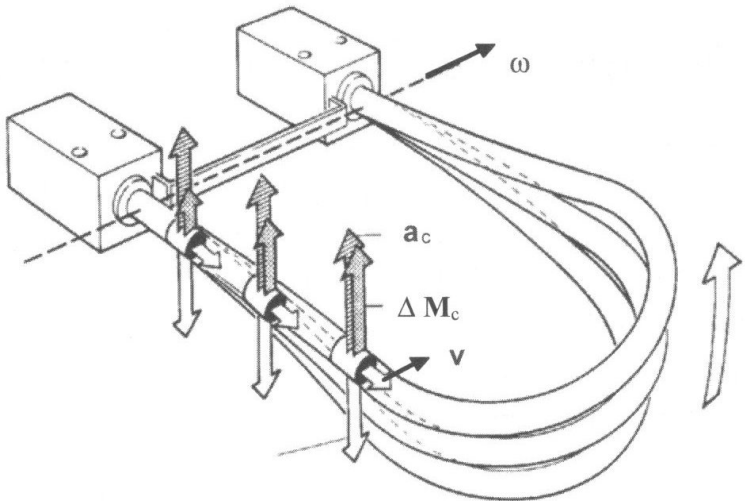
Změna rychlosti nebo frekvence ultrazvukového vlnění průchodem kapalinou.

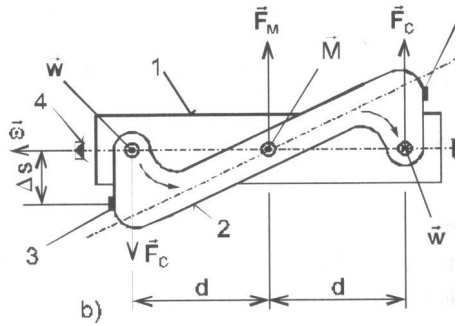
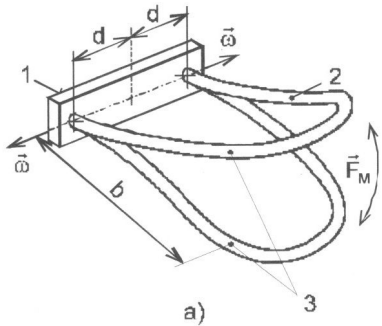
frekvence 500 kHz - 1MHz

spíše se používají pro měření kapalin, i kryokapalin (tekutý argon, dusík, helium)

# Průtokoměry založené na Coriolisově sile

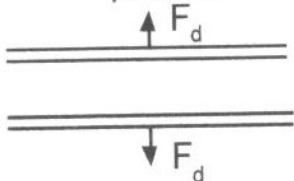




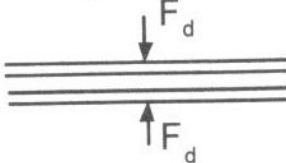


amplituda kmitů 0.8 mm, rezonanční kmitočet 100-250 Hz

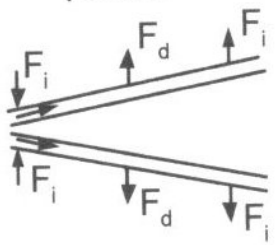
nulový  
průtok



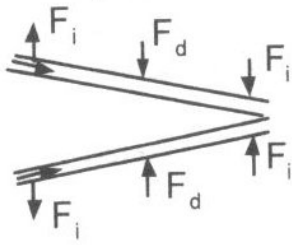
nulový  
průtok

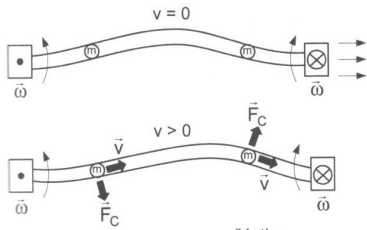


průtok



průtok

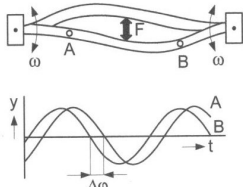




$m$  = částice

$$\vec{F}_C = -2m\vec{v}\cdot\vec{\omega}$$

$\omega$  = úhlová rychlos  
 $v$  = radiální rychlos  
 $F_C$  = Coriolisova síla

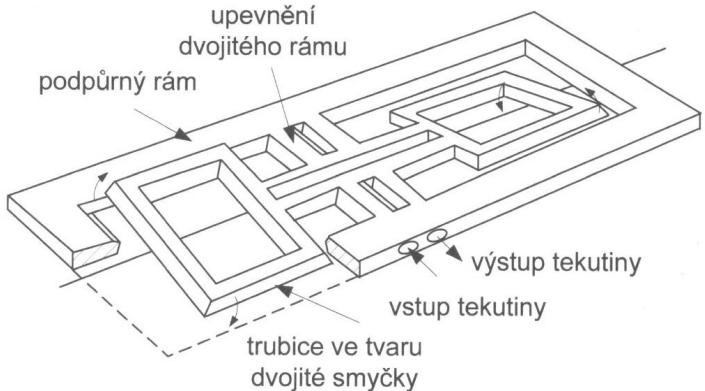


$\omega$  = úhlová rychlosť  
 $F_c$  = Coriolisova síla  
 $\Delta\phi$  = fázový posuv  
 A, B = senzory  
 t = čas

$$\Delta\phi = F_C - \dot{m}$$



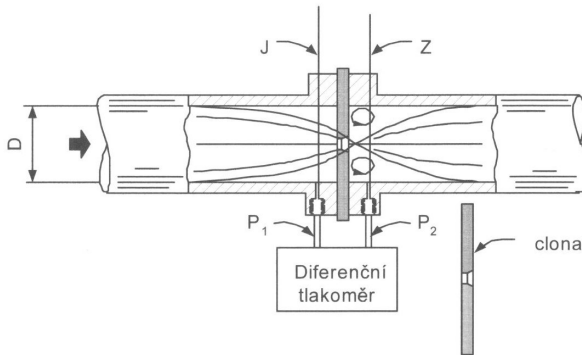
amplituda kmitů  $0.1\mu m$ , rezonanční kmitočet 500-700 Hz



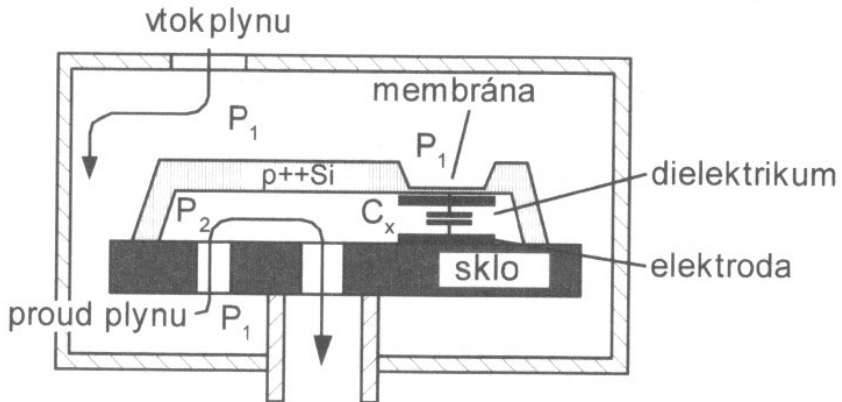
Obr. 12.14 Mikromechanicky zhotovený Coriolisův průtokoměr

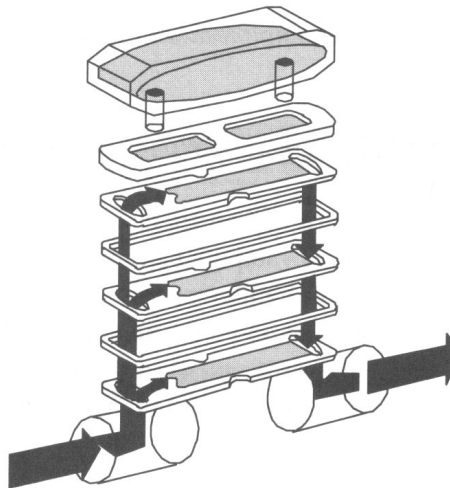
max. průtok  $5 \text{ ml.h}^{-1}$ , frekvence kmitů  $8 \text{ kHz}$ , vstupní otvor  $0.5 \text{ mm}$

# Průtokoměry založené na tlakové diferenci



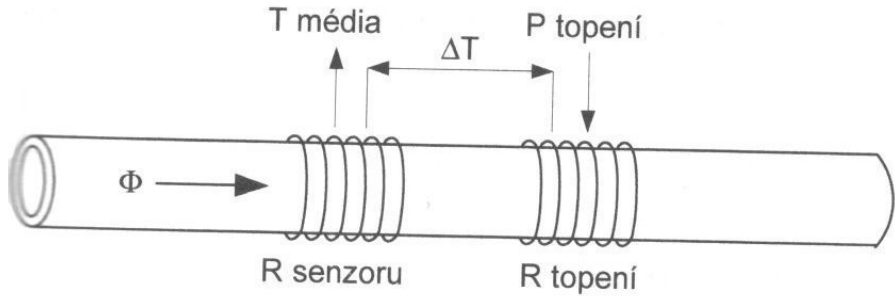
$$q_V = f(\sqrt{\Delta p})$$





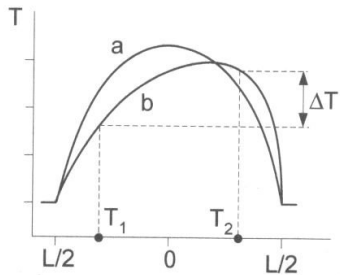
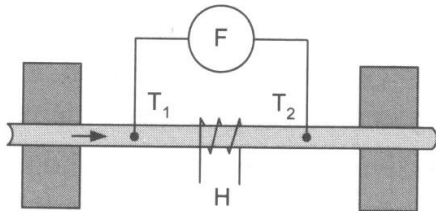
laminární proudění,  $q_V = f(p)$

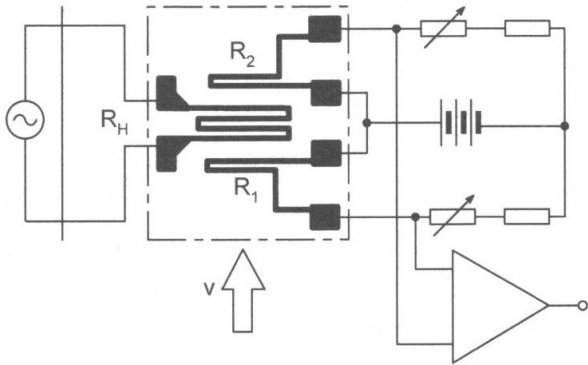
# Termoanemometr



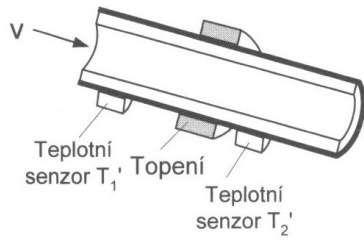
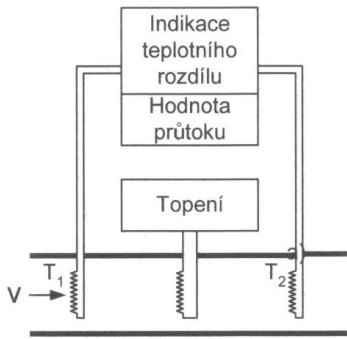
konstantní rozdíl teplot

# Kalorimetrický hmotnostní průtokoměr



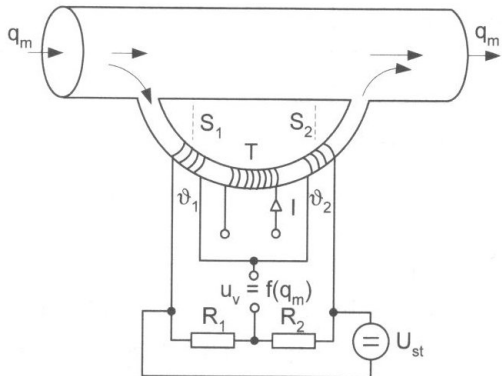
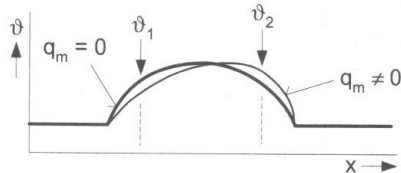


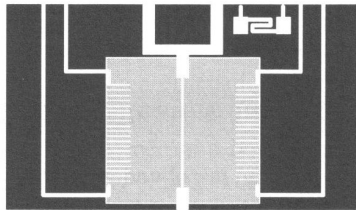
## Diferenční termoanemometr



a)

b)





*Snímač průtoku na Si čipu  $2 \times 6 \text{ mm}$  [15-12]*

průtok 2 -  $500 \text{ ml.h}^{-1}$ , přesnost měření 2%,  
příkon vyhřívání 5-50 mW, reakční doba < 2 ms